

**МЕХАНИКА  
ТВЕРДОГО ТЕЛА  
№ 4 • 2006**

УДК 531.36

© 2006 г. Л.Д. АКУЛЕНКО, Д.Д. ЛЕЩЕНКО, С.Г. СУКСОВА,  
И.А. ТИМОШЕНКО

**ЭВОЛЮЦИЯ ВРАЩЕНИЙ ТРЕХОСНОГО СПУТНИКА,  
БЛИЗКОГО К ДИНАМИЧЕСКИ-СФЕРИЧЕСКОМУ, ПОД ДЕЙСТВИЕМ  
ГРАВИТАЦИОННЫХ И СВЕТОВЫХ МОМЕНТОВ**

Исследуется эволюция вращений твердого тела (спутника Солнца, движущегося по эллиптической орбите с произвольным эксцентриситетом) под действием моментов сил гравитации и светового давления. Тело предполагается близким к динамически-сферическому, а его поверхность является поверхностью вращения, что позволяет аппроксимировать коэффициент момента сил светового давления конечным тригонометрическим полиномом. В первом приближении метода усреднения установлены новые качественные эффекты вращений спутника относительно центра масс.

**1. Исходные предположения и постановка задачи.** Рассмотрим движение спутника или космического аппарата относительно центра масс под действием совместного влияния моментов сил светового давления и гравитационного притяжения. Вращательные движения рассматриваются в рамках моделей динамики твердых тел, центры масс которых движутся по эллиптическим орбитам вокруг Солнца. Задачи динамики обобщаются и усложняются учетом различных возмущающих факторов и в настоящее время остаются достаточно актуальными. Исследованию вращательных движений тел относительно центра масс под действием возмущающих моментов сил различной природы (гравитационных, светового давления и др.), близкому к проводимому ниже, посвящено много работ, см. [1–10] и библиографию к этим работам.

Введем три правых декартовых системы координат, начало координат совместим с центром инерции спутника [1, 2]. Система координат  $OXYZ$  движется поступательно по орбите Солнца вместе со спутником; ось  $Y$  параллельна нормали к плоскости орбиты, ось  $Z$  – направлению радиус-вектора орбиты в ее перигелии, ось  $X$  – направлению вектора скорости центра масс в перигелии.

Положение вектора кинетического момента  $\mathbf{L}$  в системе координат  $OXYZ$  определим углами  $\rho$  и  $\sigma$ , как показано в [1–3] ( $\mathbf{L}$  – кинетический момент тела относительно его центра масс). Для построения системы координат  $OL_1L_2L$ , связанной с вектором  $\mathbf{L}$ , в плоскости  $OYL$  проведем ось  $L_1$ , перпендикулярно к вектору  $\mathbf{L}$  и составляющую тупой угол с осью  $Y$ . Ось  $L_2$  дополняет оси  $L_1$  и  $L$  до правой системы координат. Оси связанный системы координат  $Oxyz$  совместим с главными центральными осями инерции. Взаимное положение главных центральных осей инерции и осей  $L, L_1, L_2$  определим углами Эйлера [1–3]. При этом направляющие косинусы ( $\alpha_{ij}$ ) осей  $Ox, Oy, Oz$  относительно системы  $OL_1L_2L$  выражаются через углы Эйлера  $\phi, \psi, \theta$  по известным формулам [1].

Будем пренебрегать моментами всех сил, кроме гравитационных и сил светового давления. В [1] приведена сравнительная оценка гравитационных моментов и моментов сил светового давления для спутника Солнца. Для общей ситуации показано, что момент сил светового давления на несколько порядков больше гравитационного. В рассматриваемой ниже задаче момент сил светового давления предполагается того же порядка

малости  $\varepsilon$ , что и гравитационный момент. Это достигается, например, распределением масс и соответствующей формой тела.

Гравитационный момент, действующий на спутник со стороны Солнца, имеет вид [1, 3]:

$$\mathbf{M}_g = \frac{3\mu}{R^3}((C-B)\gamma'\gamma'', (A-C)\gamma\gamma'', (B-A)\gamma'\gamma), \quad R = |\mathbf{R}| \quad (1.1)$$

Здесь  $\mu$  – гравитационный параметр Солнца;  $\gamma, \gamma', \gamma''$  – косинусы углов между радиус-вектором  $\mathbf{R}$  и осями  $x, y, z$ .

Допустим, что поверхность аппарата представляет собой поверхность вращения, причем единичный орт оси симметрии  $\mathbf{k}$  направлен по оси  $Oz$ . Как показано в [1, 4, 5], в этом случае для момента сил светового давления  $\mathbf{M}_c$ , действующего на спутник, имеет место формула

$$\begin{aligned} \mathbf{M}_c &= (a_c(\varepsilon_s)R_0^2/R^2)\mathbf{e}_r \times \mathbf{k} \\ a_c(\varepsilon_s)\frac{R_0^2}{R^2} &= p_c S(\varepsilon_s) Z'_0(\varepsilon_s), \quad p_c = \frac{E_0}{c} \left( \frac{R_0}{R} \right)^2 \end{aligned} \quad (1.2)$$

Здесь  $\mathbf{e}_r$  – единичный вектор по направлению радиус-вектора орбиты;  $\varepsilon_s$  – угол между направлениями  $\mathbf{e}_r$  и  $\mathbf{k}$ , так, что  $|\mathbf{e}_r \times \mathbf{k}| = \sin \varepsilon_s$ ;  $R$  – текущее расстояние от центра Солнца до центра масс спутника;  $R_0$  – фиксированное значение  $R$ , например, в начальный момент времени;  $a_c(\varepsilon_s)$  – коэффициент момента сил светового давления, определяемый свойствами поверхности;  $S$  – площадь “тени” на плоскости, нормальной к потоку;  $Z'_0$  – расстояние от центра масс до центра давления;  $p_c$  – величина светового давления на расстоянии  $R$  от центра Солнца;  $c$  – скорость света;  $E_0$  – величина потока энергии светового давления на расстоянии  $R_0$  от центра Солнца. Если  $R_0$  – радиус орбиты Земли, тогда  $p_{c0} = 4.64 \cdot 10^{-6}$  Па.

Далее полагаем [1], что функция  $a_c = a_c(\cos \varepsilon_s)$  и аппроксимируем ее полиномами по степеням  $\cos \varepsilon_s$ . Момент сил светового давления имеет силовую функцию, зависящую только от положения оси симметрии тела в пространстве [1]. Представим функцию  $a_c(\cos \varepsilon_s)$  в виде [9]:

$$a_c = a_{0c} + a_{1c} \cos \varepsilon_s + \dots + a_N \cos^N \varepsilon_s \quad (1.3)$$

Уравнения возмущенного движения спутника при наличии силовой функции в переменных  $L, \rho, \sigma, \phi, \psi, \theta$  имеют вид [3]

$$\begin{aligned} \dot{\sigma} &= (L \sin \rho)^{-1} \frac{\partial U}{\partial \rho}, \quad \dot{\rho} = -(L \sin \rho)^{-1} \frac{\partial U}{\partial \sigma} + \operatorname{ctg} \rho L^{-1} \frac{\partial U}{\partial \psi} \\ \dot{L} &= \frac{\partial U}{\partial \psi} \\ \dot{\theta} &= L \sin \theta \sin \phi \cos \phi (A^{-1} - B^{-1}) - (L \sin \theta)^{-1} \frac{\partial U}{\partial \phi} + \operatorname{ctg} \theta L^{-1} \frac{\partial U}{\partial \psi} \quad (1.4) \\ \dot{\phi} &= L \cos \theta (C^{-1} - A^{-1} \sin^2 \phi - B^{-1} \cos^2 \phi) + (L \sin \theta)^{-1} \frac{\partial U}{\partial \theta} \\ \dot{\psi} &= -L(A^{-1} \sin^2 \phi + B^{-1} \cos^2 \phi) - L^{-1} \left( \frac{\partial U}{\partial \rho} \operatorname{ctg} \rho + \frac{\partial U}{\partial \theta} \operatorname{ctg} \theta \right) \end{aligned}$$

Силовая функция  $U$  зависит от времени  $t$  через истинную аномалию  $\nu(t)$  и от направляющих косинусов оси  $Oz$  относительно системы координат  $OXYZ$ , она имеет вид  $U = U(\nu(t), \alpha_3, \beta_3, \gamma_3)$ .

К системе уравнений (1.4) необходимо присоединить уравнение, описывающее изменение истинной аномалии со временем

$$\begin{aligned} d\nu/dt &= \omega_0(1-e^2)^{-3/2}(1+e\cos\nu)^2 \\ \omega_0 &= 2\pi/T_0 = [\kappa(1-e^2)^3 P^{-3}]^{1/2} \end{aligned} \quad (1.5)$$

Здесь  $\omega_0$  – средняя угловая скорость движения центра масс по эллиптической орбите,  $T_0$  – период обращения спутника,  $e$  и  $P$  – эксцентриситет и фокальный параметр орбиты соответственно,  $\kappa$  – произведение постоянной всемирного тяготения на массу Солнца.

Считаем силовую функцию состоящей из двух слагаемых, обусловленных влиянием гравитационного момента и момента сил светового давления  $U = U_g + U_c$ . Силовая функция, обусловленная влиянием гравитационного момента, записывается следующим образом [3]:

$$U_g = \frac{3\mu}{2R^3}[(A-B)\gamma'^2 + (A-C)\gamma''^2] \quad (1.6)$$

$$\gamma' = \alpha_2 \sin \nu + \gamma_2 \cos \nu, \quad \gamma'' = \alpha_3 \sin \nu + \gamma_3 \cos \nu$$

Момент сил светового давления (1.2) соответствует силовой функции

$$U_c(\cos \varepsilon_s) = -R_0^2 R^{-2} \int a_c(\cos \varepsilon_s) d(\cos \varepsilon_s)$$

Рассмотрим вначале случай “тригонометрического монома”

$$a_c(\cos \varepsilon_s) = a_n \cos^n \varepsilon_s \quad (1.7)$$

Силовая функция  $U_c$  в этом случае имеет вид

$$U_c = -\frac{a_n R_0^2}{(n+1)R^2} \cos^{n+1} \varepsilon_s \quad (1.8)$$

$$\cos \varepsilon_s = \gamma_3 \cos \nu + \alpha_3 \sin \nu$$

Направляющие косинусы  $\alpha_3, \gamma_3$  выражаются через  $\rho, \sigma, \theta, \psi$  по известным формулам [1]. Предположим, что угловая скорость движения спутника относительно центра масс существенно больше угловой скорости орбитального движения  $\omega_0$ , т.е. будем считать, что  $\varepsilon = \omega_0/\omega \sim A\omega_0/G \ll 1$ .

Пусть главные центральные моменты инерции спутника близки друг к другу и представимы в виде

$$A = J_0 + \varepsilon A_1, \quad B = J_0 + \varepsilon B_1, \quad C = J_0 + \varepsilon C_1 \quad (1.9)$$

где  $0 < \varepsilon \ll 1$  – малый параметр. Предположим также, что  $a_0 \sim \varepsilon, a_1 \sim \varepsilon, \dots, a_N \sim \varepsilon$ , т.е. моменты сил светового давления имеют тот же порядок величины  $\varepsilon$ , что и гравитационные, а также гироскопические моменты. Из (1.7) следует, что  $U_c \sim \varepsilon$ . Кроме того, для силовой функции гироскопического момента  $U_g \sim \varepsilon$ , т.к.  $A - C = (A_1 - C_1)\varepsilon, A - B = (A_1 - B_1)\varepsilon$ .

Исследуем решение системы (1.4), (1.5) при малом  $\varepsilon$  на большом промежутке времени  $t \sim \varepsilon^{-1}$ . Погрешность усредненного решения для медленных переменных составляет

величину  $O(\varepsilon)$  на интервале времени, за который тело совершил порядка  $\varepsilon^{-1}$  оборотов. Независимое усреднение по  $\psi, v$  проводим как для нерезонансных случаев [2].

**2. Преобразование выражения силовой функции, процедура усреднения и построение системы первого приближения.** Рассмотрим невозмущенное движение ( $\varepsilon = 0$ ), когда уравнения (1.4), (1.5) описывают движение сферически симметричного тела и гравитационные (1.1), а также световые и гироскопические моменты (1.2) равны нулю. Из системы (1.4) получим, что  $\rho, \sigma, L, \theta, \phi$  постоянны, а

$$\psi = LJ_0^{-1}t + \psi_0, \quad \psi_0 = \text{const} \quad (2.1)$$

что соответствует равномерному вращению спутника вокруг вектора кинетического момента  $L$ , который движется поступательно. При малом  $\varepsilon \neq 0$  в системе семи уравнений (1.4), (1.5) с учетом (1.9) медленными переменными являются величины  $\rho, \sigma, L, \theta, \phi$ , а быстрыми —  $\psi$  и  $v$ . Для получения решения в первом приближении достаточно усреднить правые части уравнений (1.4), подставив в них  $v$  из решения уравнения (1.5) и  $\psi$  из (2.1). Предполагаем, что для частот  $\omega_0$  и  $LJ_0^{-1}$  не выполняются резонансные соотношения  $m_1\omega_0 + n_1LJ_0^{-1} \neq 0$ , где  $m_1$  и  $n_1$  — любые целые числа.

Тогда усреднение по времени силовых функций можно заменить независимым усреднением по переменным  $\psi$  и  $v(t)$ :

$$\tilde{U} = \frac{1}{(2\pi)^2} \int_0^{2\pi} \int_0^{2\pi} U d\psi dt = \frac{1}{(2\pi)^2} \int_0^{2\pi} \left( \int_0^{2\pi} U d\psi \right) \frac{dt}{dv} dv = \frac{1}{(2\pi)^2} \int_0^{2\pi} \left( \int_0^{2\pi} U d\psi \right) \frac{(1-e^2)^{3/2}}{(1+e\cos v)^2} dv \quad (2.2)$$

Здесь учитывается, что

$$\frac{dt}{dv} = \frac{(1-e^2)^{3/2}}{(1+e\cos v)^2 \omega_0}, \quad \omega_0 = \frac{2\pi}{T_0}, \quad \omega_0 \approx 1, \quad T_0 = 2\pi$$

В (2.2) через  $\tilde{U}$  обозначена усредненная функция. Таким образом, усреднение по времени функций, зависящих от  $v$ , сводится к усреднению по  $v$  следующим образом:

$$M_v\{f(v)\} = \frac{1}{T_0} \int_0^{T_0} f(v) dt = \frac{1}{2\pi} \int_0^{2\pi} \frac{(1-e^2)^{3/2}}{(1+e\cos v)^2} f(v) dv = (1-e^2)^{3/2} M_v \left\{ \frac{f(v)}{(1+e\cos v)^2} \right\} \quad (2.3)$$

Далее, используя выражения направляющих косинусов  $\alpha_2, \gamma_2, \alpha_3, \gamma_3$  через углы  $\rho, \sigma, \theta, \psi$  получим среднее по  $\psi$  значение силовой функции  $U_g$ :

$$\begin{aligned} \langle U_g \rangle_\psi &= \frac{3\omega_0^2}{8(1-e^2)^3} (1+e\cos v)^3 \{ (A-C)[(3\cos^2 \theta - 1)\sin^2 \rho \times \\ &\times (1+\cos 2(v-\sigma)) + 2\sin^2 \theta] + (A-B)[2(1-\sin^2 \theta \cos^2 \phi) + \\ &+ \sin^2 \rho (3\sin^2 \theta \cos^2 \phi - 1)(1+\cos 2(v-\sigma))] \} \end{aligned} \quad (2.4)$$

После усреднения по  $v$  согласно (2.3) получим

$$\begin{aligned} \tilde{U}_g &= \frac{3\omega_0^2}{8(1-e^2)^{3/2}} \{ (A-C)[2\sin^2 \theta + (3\cos^2 \theta - 1)\sin^2 \rho] + \\ &+ (A-B)[2(1-\sin^2 \theta \cos^2 \phi) + (3\sin^2 \theta \cos^2 \phi - 1)\sin^2 \rho] \} \end{aligned} \quad (2.5)$$

Вычисляя частные производные от усредненной функции  $\tilde{U}_g$ , находим

$$\begin{aligned} \frac{\partial \tilde{U}_g}{\partial \psi} &= \frac{\partial \tilde{U}_g}{\partial \sigma} = 0 \\ \frac{\partial \tilde{U}_g}{\partial \theta} &= \frac{3\omega_0^2}{4(1-e^2)^{3/2}} \sin \theta \cos \theta (2 - 3 \sin^2 \rho) [-(A-B) \cos^2 \varphi + (A-C)] \\ \frac{\partial \tilde{U}_g}{\partial \rho} &= \frac{3\omega_0^2}{4(1-e^2)^{3/2}} \sin \rho \cos \rho \{(A-B)(-1 + 3 \sin^2 \theta \cos^2 \varphi) + (A-C)(-1 + 3 \cos^2 \theta)\} \\ \frac{\partial \tilde{U}_g}{\partial \varphi} &= \frac{3\omega_0^2}{4(1-e^2)^{3/2}} \sin \varphi \cos \varphi \sin^2 \theta (A-B) (2 - 3 \sin^2 \rho) \end{aligned} \quad (2.6)$$

Аналогичным образом проводим усреднение функции  $U_c$ . Согласно обозначениям, принятым в [9]:

$$\begin{aligned} \cos^{n+1} \varepsilon_s &= (d + g \cos v)^{n+1} \\ d &= \cos \theta \sin \rho \cos(\sigma - v), \quad v = \psi - \chi \\ g &= \{\sin^2 \theta [\sin^2(\sigma - v) \sin^2 \rho + \cos^2 \rho]\}^{1/2} \\ \cos \chi &= \sin \theta \sin(\sigma - v) \{\sin^2 \theta [\sin^2(\sigma - v) \sin^2 \rho + \cos^2 \rho]\}^{-1/2} \\ \sin \chi &= \sin \theta \cos \rho \cos(\sigma - v) \{\sin^2 \theta [\sin^2(\sigma - v) \sin^2 \rho + \cos^2 \rho]\}^{-1/2} \end{aligned} \quad (2.7)$$

Применяя формулу бинома Ньютона, выразим правую часть (2.7) следующим образом:

$$(d + g \cos v)^{n+1} = \sum_{k=0}^{n+1} C_{n+1}^k \cos^k v (g^k d^{n+1-k}) \quad (2.8)$$

Далее, используя выражения для направляющих косинусов  $\alpha_3, \gamma_3$  оси  $Oz$  относительно системы координат  $OXYZ$  через  $\rho, \sigma, \theta, \psi$  [1], получим среднее по  $\psi$  значение силовой функции  $U_c$ :

$$\langle U_c \rangle_\psi = -\frac{a_n R_0^2}{(n+1)R^2} \sum_{m=0}^{E\left(\frac{n+1}{2}\right)} C_{n+1}^{2m} g^m d^{n+1-2m} \frac{(2m-1)!!}{(2m)!!} \quad (2.9)$$

Функция  $E(z)$  означает целую часть числа  $z$ . При получении выражения (2.9) учитывалось, что

$$\frac{1}{2\pi} \int_0^{2\pi} (d + g \cos v)^{n+1} dv = \sum_{k=0}^{n+1} C_{n+1}^k g^k d^{n+1-k} I_k$$

$$I_k = \frac{1}{2\pi} \int_0^{2\pi} \cos^k v dv, \quad I_{2m+1} = 0, \quad I_{2m} = \frac{(2m-1)!!}{(2m)!!}$$

Проведем теперь усреднение по  $v$ . Обозначим  $u = \sigma - v$ , тогда  $d = h \cos u$ , где  $h = \cos \theta \sin \rho$ . Выражение  $g^{2m}$  из (2.9) представим в виде

$$g^{2m} = \{ \sin^2 \theta [\sin^2(\sigma - v) \sin^2 \rho + \cos^2 \rho] \}^m = (b + q \sin^2 u)^m$$

$$b = \sin^2 \theta \cos^2 \rho, \quad q = \sin^2 \theta \sin^2 \rho$$

Еще раз применяя формулу бинома Ньютона, получим

$$(b + q \sin^2 u)^m = \sum_{k=0}^m C_k^m (q^k b^{m-k}) \sin^{2k} u$$

Таким образом, в результате замены  $u = \sigma - v$ , второе усреднение силовой функции  $U_c$  будем проводить по  $u$ . Для этого необходимо рассмотреть интеграл

$$\begin{aligned} \frac{1}{2\pi} \int_0^{2\pi} (b + q \sin^2 u)^m (h \cos u)^{n-2m+1} du &= \sum_{k=0}^m C_k^m (q^k b^{m-k}) \frac{1}{2\pi} \int_0^{2\pi} \sin^{2k} u (h \cos u)^{n+1-2m} du = \\ &= \sum_{k=0}^m h^{n+1-2m} C_k^m (q^k b^{m-k}) \frac{1}{2\pi} \int_0^{2\pi} \sin^{2k} u (\cos u)^{n+1-2m} du \end{aligned}$$

Полученный интеграл вычисляется в явном виде [9, 11]:

$$\frac{1}{2\pi} \int_0^{2\pi} \sin^{2k} u (\cos u)^{n+1-2m} du = \begin{cases} 0, & n = 2l \\ \frac{(2k-1)!![2(k+1-m)-1]!!}{[2(k+l+1-m)]!!}, & n = 2l+1, \quad l \in Z \end{cases}$$

Тогда, после усреднения (2.9) по  $u$  получим

$$\begin{aligned} \tilde{U}_{2l+1} &= -\delta_l \sum_{m=0}^{l+1} \sum_{k=0}^m A_{lmk} (\cos \theta)^{2(l+1-m)} \sin^{2m} \theta (\sin \rho)^{2(l+1-m+k)} (\cos \rho)^{2(m-k)} \\ \delta_l &= \frac{a_{2l+1} R_0^2 (1-e^2)^{3/2}}{2(l+1)P^2} \end{aligned} \quad (2.10)$$

$$A_{lmk} = C_{2(l+1)}^{2m} C_m^k \frac{(2m-1)!!(2k-1)!![2(l+1-m)-1]!!}{(2m)!![2(k+l+1-m)]!!}$$

Силовая функция для коэффициента момента сил светового давления вида (1.3) записывается следующим образом:

$$\tilde{U}_c(\theta, \rho) = \sum_{l=0}^Q U_{2l+1}(\theta, \rho), \quad Q = E\left(\frac{N-1}{2}\right) \quad (2.11)$$

Вычисляя частные производные от функции (2.11) с учетом (2.10) находим

$$\frac{\partial \tilde{U}_c}{\partial \sigma} = \frac{\partial \tilde{U}_c}{\partial \psi} = \frac{\partial \tilde{U}_c}{\partial \varphi} = 0$$

$$\frac{\partial \tilde{U}_c}{\partial \rho} = -2 \sum_{l=0}^Q \sum_{m=0}^{l+1} \sum_{k=0}^m \delta_l A_{lmk} (\cos \theta)^{2(l+1-m)} (\sin \theta)^{2m} (\sin \rho)^{2(l-m+k)+1} (\cos \rho)^{2(m-k)-1} \times$$

$(\sin \varphi)$   
 $\frac{1}{1}$   
 $2(\ell-k)+1$

$$\times [(l+1)\cos^2 \rho + k - m]$$

$$\frac{\partial \tilde{U}_c}{\partial \theta} = -2 \sum_{l=0}^Q \sum_{m=0}^{l+1} \sum_{k=0}^m \delta_l A_{lmk} (\cos \rho)^{2(l+1-m+k)} (\sin \rho)^{2(m-k)} (\sin \rho)^{2l-2m+1} (\cos \theta)^{2l-2m+1} \times$$

$$\times (\sin \theta)^{2m-1} [m - (l+1) \sin^2 \theta]$$

Коэффициенты  $\delta_l$  и  $A_{lmk}$  определены в (2.10). Заметим, что коэффициенты  $a_{2l}$  в разложении (1.3) при усреднении исчезают.

Итак, усредненная система первого приближения принимает вид

$$\begin{aligned} \dot{\rho} &= 0, \quad \dot{L} = 0, \quad \dot{\sigma} = (L_0 \sin \rho_0)^{-1} \partial U / \partial \rho \\ \dot{\theta} &= L_0 \sin \theta \sin \varphi \cos \varphi (A^{-1} - B^{-1}) + (L_0)^{-1} \frac{3\omega_0^2}{2(1-e^2)^{3/2}} \times \\ &\times \left(1 - \frac{3}{2} \sin^2 \rho_0\right) (B - A) \sin^2 \theta \sin \varphi \cos \varphi \\ \dot{\varphi} &= L_0 \cos \theta (C^{-1} - A^{-1} \sin^2 \varphi - B^{-1} \cos^2 \varphi) - \\ &- 2(L_0 \sin \theta)^{-1} \sum_{l=0}^Q \sum_{m=0}^{l+1} \sum_{k=0}^m \delta_l A_{lmk} (\sin \rho_0)^{2(l+1-m+k)} \times \\ &\times (\cos \rho_0)^{2(m-k)} (\cos \theta)^{2l-2m+1} (\sin \theta)^{2m-1} [m - (l+1) \sin^2 \theta] + \\ &+ \frac{3\omega_0^2}{2(1-e^2)^{3/2}} L_0^{-1} \left(1 - \frac{3}{2} \sin^2 \rho_0\right) \cos \theta [(A - C) + (B - A) \cos^2 \varphi] \\ \delta_l &= \frac{a_{2l+1} R_0^2 (1-e^2)^{3/2}}{2(l+1) P^2} \end{aligned} \quad (2.13)$$

где  $L_0$ ,  $\rho_0$  – значения  $L$  и  $\rho$  в начальный момент времени. Исследуем систему (2.13). Вектор кинетического момента остается постоянным по величине и постоянно наклоненным к нормали к плоскости орбиты. Рассмотрим уравнения для определения углов нутации  $\theta$  и собственного вращения  $\varphi$  (2.13). Они описывают движение вектора кинетического момента  $L$  относительно связанной с телом системы координат.

3. Эволюция углов нутации и собственного вращения. Заметим, что

$$B - A \sim J_0^2 \frac{B - A}{AB}, \quad A - C \sim J_0^2 \frac{A - C}{AC} \quad (3.1)$$

Подставим в (2.13) выражение (3.1) и обозначим

$$D_0 = \frac{3\omega_0^2}{2\omega^2 (1-e^2)^{3/2}} \left(1 - \frac{3}{2} \sin^2 \rho_0\right), \quad \omega = \frac{L_0}{J_0}$$

где  $\omega$  – угловая скорость прецессии.

Переходом в (2.13) к медленному времени  $\tau = L_0 \beta t$ , где  $\beta = A^{-1} - B^{-1}$ , получим

$$\theta' = \sin \theta \sin \varphi \cos \varphi (1 + D_0)$$

$$\checkmark \quad \begin{aligned} \varphi' &= \cos \theta (\mu - \sin^2 \varphi) (1 + D_0) - 2\beta^{-1} L_0^{-2} (\sin \theta) \times \\ &\times \sum_{l=0}^Q \sum_{m=0}^{l+1} \sum_{k=0}^m \delta_l A_{lmk} (\sin \rho)^{2(l+1-m+k)} (\cos \rho)^{2m-2k} (\cos \theta)^{2l-2m+1} (\sin \theta)^{2m-1} \times \\ &\times [m - (l+1) \sin^2 \theta] \end{aligned} \quad (3.2)$$

$$\mu = -\gamma/\beta, \quad \gamma = B^{-1} - C^{-1}, \quad \beta = A^{-1} - B^{-1}, \quad (\dots)' = d/d\tau$$

С учетом предположения  $a_{2l+1} \sim \varepsilon$  ( $l = 0, \dots, Q$ ) и соотношения (3.1) получим, что  $\beta, \gamma, \delta_l \sim \varepsilon$ . Для системы (3.2) имеет место первый интеграл

$$\begin{aligned} c &= \sin^2 \theta (\mu - \sin^2 \varphi) - 2\beta^{-1} L_0^{-2} (1 + D_0)^{-1} \times \\ &\times \sum_{l=0}^Q \sum_{m=0}^{l+1} \sum_{k=0}^m \delta_l A_{lmk} (\cos \theta)^{2(l-m+1)} (\sin \theta)^{2m} (\cos \rho_0)^{2(m-k)} (\sin \rho_0)^{2(l+1-m+k)} = \text{const} \end{aligned} \quad (3.3)$$

При отсутствии влияния момента сил светового давления, т.е. при  $a_{2l+1} = 0$  ( $l = 0, \dots, Q$ ) система (3.3) имеет вид

$$\begin{aligned} \theta' &= \sin \theta \sin \varphi \cos \varphi (1 + D_0) \\ \varphi' &= \cos \theta (\mu - \sin^2 \varphi) (1 + D_0) \end{aligned} \quad (3.4)$$

и имеет первый интеграл

$$c_1 = \sin^2 \theta (\mu - \sin^2 \varphi) = \text{const} \quad (3.5)$$

Для случая  $n = 1$  ( $l = 0$ )  $a_c = a_{0c} + a_{1c} \cos \varepsilon_s$  уравнения для определения  $\theta$  и  $\varphi$  согласно (3.2) в медленном времени записываются следующим образом

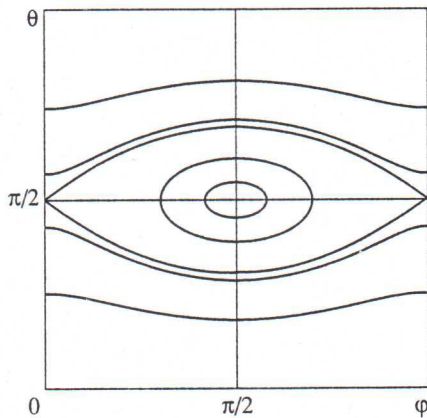
$$\begin{aligned} \theta' &= (1 + D_0) \sin \theta \sin \varphi \cos \varphi \\ \varphi' &= (1 + D_0) \cos \theta (\mu_1 - \sin^2 \varphi) \end{aligned} \quad (3.6)$$

$$\mu_1 = \frac{\alpha - \gamma}{\beta}, \quad \alpha = -\frac{1}{2} L_0^{-2} (1 + D_0)^{-1} (1 - e^2)^{3/2} a_{1c} R_0^2 P^{-2} \left( 1 - \frac{3}{2} \sin^2 \rho_0 \right)$$

В [2] впервые предложена процедура усреднения для исследования движения спутника, близкого к динамически-сферическому, под действием гравитационных моментов. В [2] исследована эволюция вращений спутника с близкими значениями трех главных моментов инерции под действием момента сил светового давления. Сравнивая систему (3.6) с соответствующей системой [10] для случая  $a_c = a_{0c} + a_{1c} \cos \varepsilon_s$ , заметим, что влияние гравитационного момента находится в множителях  $1 + D_0$  в дифференциальных уравнениях для  $\theta$  и  $\varphi$  в медленном времени. Выражения  $\mu_1$  с точностью до множителя  $1/2(1 + D_0)^{-1}$  совпадают с аналогичным выражением в [10]. Наличие этого множителя обусловлено влиянием гравитационных сил. Для рассматриваемого случая первый интеграл (3.3) записывается следующим образом:

$$c_2 = \sin^2 \theta (\mu_1 - \sin^2 \varphi) = \text{const} \quad (3.7)$$

где  $\mu_1$  выражается как в (3.5). Первый интеграл (3.7) совпадает с соответствующим выражением из [10].



Фиг. 1

Исследование системы (3.5) аналогично исследованию соответствующей системы в [10]. Здесь переменные изменяются в пределах  $0 \leq \theta < \pi$ ,  $0 \leq \phi < 2\pi$ , а параметр  $\mu$  может принимать различные значения  $-\infty < \mu < +\infty$ . Область допустимых значений параметров  $(c_2, \mu_1)$  представима в виде  $D = D_1 \cup D_2 \cup D_3$ , где каждая подобласть характеризуется свойствами:  $D_1$  определяется неравенствами  $\mu_1 \geq c_2 \geq 0$  ( $\mu_1 \geq 1$ ), подобласть  $D_2$  – соотношениями  $\mu_1 \geq c_2 \geq \mu_1 - 1$  ( $0 \leq \mu_1 \leq 1$ ) и подобласть  $D_3$  –  $0 \geq c_2 \geq \mu_1 - 1$  ( $\mu_1 \leq 0$ ). Особыми подмножествами системы (3.5) являются границы подобластей  $D_1, D_2, D_3$ . В областях  $D_1$  и  $D_3$  движение представляет собой колебания по  $\theta$  и колебания или вращения по  $\phi$ . В области  $D_2$  имеют место колебания по  $\theta$  и по  $\phi$ .

Рассматриваются 11 различных характерных случаев выбора параметра  $\mu_1$ , см. [1]. Так, например, при  $\mu_1 = 1.7$  графические зависимости  $\theta$  от  $\phi$ , полученные численно из первого интеграла (3.5), представлены на фиг. 1. Эти графики соответствуют только колебаниям по  $\theta$ . По  $\phi$  – колебания внутри сепаратрисы  $\sin^2 \theta = \mu_1 (\mu_1 - \sin^2 \phi)^{-1}$  и вращения вне сепаратрисы.

✓ 10

4. Частный случай выражения коэффициента формы. Пусть

$$a_c(\cos \varepsilon_s) = \sum_{k=0}^Q a_{2k} \cos^{2k} \varepsilon_s + a_3 \cos^3 \varepsilon_s \quad (4.1)$$

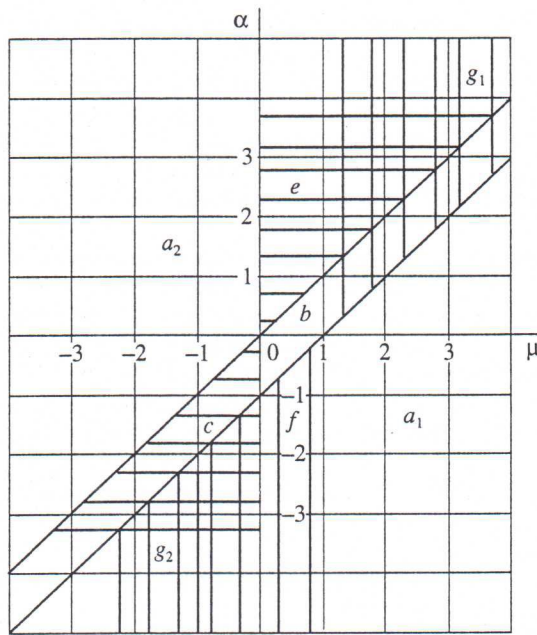
В этом случае уравнения для определения  $\theta$  и  $\phi$  принимают вид

$$\begin{aligned} \theta' &= (1 + D_0) \sin \theta \sin \phi \cos \phi \\ \phi' &= (1 + D_0) \cos \theta (\mu_3 - \sin^2 \phi - \alpha_p \sin^2 \theta) \\ \mu_3 &= -\gamma/\beta - \alpha_1 \beta s \end{aligned} \quad (4.2)$$

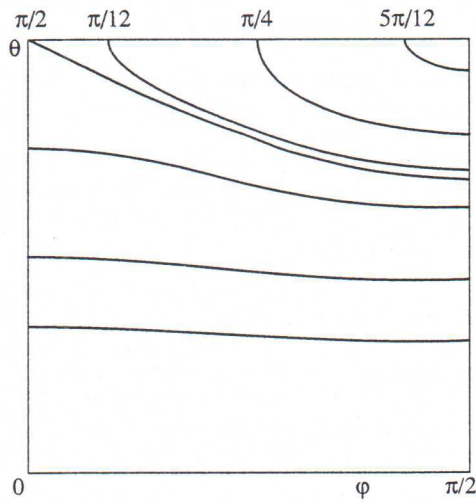
$$\alpha_1 = (1 + D_0)^{-1} \frac{3a_3 R_0^2}{64 L_0^2 P^2} (1 - e^2)^{3/2} (8 - 40 \sin^2 \rho_0 + 35 \sin^4 \rho_0)$$

$$s = \frac{4 \sin^2 \rho_0 (4 - 5 \sin^2 \rho_0)}{8 - 40 \sin^2 \rho_0 + 35 \sin^4 \rho_0}$$

Отметим, что при усреднении члены, содержащие четные степени  $a_{2k}$ , исчезают.



Фиг. 2



Фиг. 3

С учетом предположения  $a_3 \sim \varepsilon$ , а также, учитывая соотношение (1.9), получим, что  $\beta$ ,  $\alpha$ ,  $\gamma$  – величины порядка  $\varepsilon$ .

Для системы (4.2) имеет место первый интеграл

$$c_2 = \sin^2 \theta (\mu_2 - \sin^2 \varphi - 1/2 \alpha \sin^2 \theta) = \text{const} \quad (4.3)$$

В [9] было исследовано движение трехосного спутника, близкого к динамически-сферическому, под действием момента сил светового давления, где коэффициент момента

сил светового давления имеет вид (4.1), причем относительно коэффициента  $a_c$  выдвигаются те же предположения, что и в нашей задаче.

Сравнивая систему уравнений для  $\theta$  и  $\phi$  (4.2) с соответствующей системой [9] заметим, что влияние гравитационного момента заключается в множителе  $(1 + D_0)$ . Первые интегралы сравниваемых систем совпадают также с точностью до множителя  $(1 + D_0)^{-1}$ .

В системе (4.2) переменные  $\theta, \phi$  изменяются в пределах  $0 \leq \theta \leq \pi, 0 \leq \phi \leq \pi$ ; параметр  $\mu$  может принимать произвольные значения  $-\infty < \mu < +\infty$ . Область допустимых значений  $(\alpha, \mu)$  приведена на фиг. 2.

Рассматриваются 9 различных характерных случаев выбора параметров  $(\mu, \alpha)$ , соответствующие каждой из указанных на фиг. 2 областей (см. [9]). Так, например, семейство фазовых траекторий усредненной системы в плоскости  $\theta, \phi$  при  $\mu = -5, \alpha = -2$  (случай  $a_2$ ) представлен на фиг. 3. Эти графики соответствуют колебаниям по углу  $\theta$ , а по  $\phi$  происходят либо колебания (внутри сепаратрисы), либо вращения (вне сепаратрисы): стационарные точки  $(\pi/2, \pi/2)$  типа центр и  $(\pi/2, 0)$  – типа седло. Аналогичный характер зависимости  $\theta$  от  $\phi$  будет и в случае  $(a_1)$ . Исследование других областей зависимостей  $(\mu, \alpha)$  аналогично рассмотренным в [9].

Работа выполнена при финансовой поддержке РФФИ (гранты 05-01-00043, 05-01-00563) и программы НШ 1627.2003.1.

#### СПИСОК ЛИТЕРАТУРЫ

1. Белецкий В.В. Движение искусственного спутника относительно центра масс. М.: Наука, 1965. 416 с.
2. Черноуско Ф.Л. О движении спутника относительно центра масс под действием гравитационных моментов // ПММ. 1963. Т. 27. Вып. 3. С. 474–483.
3. Белецкий В.В. Движение спутника относительно центра масс в гравитационном поле. М.: Изд-во МГУ, 1975. 308 с.
4. Карымов А.А. Устойчивость вращательного движения геометрически симметричного искусственного спутника Солнца в поле сил светового давления // ПММ. 1964. Т. 28. Вып. 5. С. 923–930.
5. Абалакин В.К., Аксенов Е.П., Гребеников Е.А., Демин В.Г., Рябов Ю.А. Справочное руководство по небесной механике и астродинамике. М.: Наука, 1976. 862 с.
6. Поляхова Е.Н. Космический полет с солнечным парусом: проблемы и перспективы. М.: Наука, 1986. 304 с.
7. Сидоренко В.В. О вращательном движении космического аппарата с солнечным стабилизатором // Космич. исслед. 1992. Т. 30. Вып. 6. С. 780–790.
8. Сазонов В.В. Движение астероида относительно центра масс под действием момента сил светового давления // Астрон. вестник. 1994. Т. 28. № 2. С. 95–107.
9. Лещенко Д.Д. Эволюция вращений трехосного тела под действием момента сил светового давления // Изв. РАН. МТТ. 1997. № 6. С. 17–26.
10. Акуленко Л.Д., Лещенко Д.Д. Эволюция вращений трехосного спутника, близкого к динамически-сферическому, под действием моментов сил светового давления // Изв. РАН. МТТ. 1996. № 2. С. 3–12.
11. Тимофеев А.Ф. Интегрирование функций. М.; Л.: Гостехиздат, 1948. 432 с.

Москва

Поступила в редакцию  
19.01.2004